

Лекция 10. Расчет вероятности ошибки для ЦВЗ-УШПС:

Основная идея УШПС – уменьшить влияние ПС, как помехи, на результат «слепого» декодирования

Погружение:

$$C_w(n) = C(n) + (\beta(-1)^b - \lambda x) \pi'(n), n = 1, 2 \dots N \quad (22)$$

где β, λ – некоторые постоянные

$$x = (C, \pi') = \frac{1}{N\alpha^2} \sum_{n=1}^N C(n) \pi'(n), \pi'(n) = \alpha \pi(n) \quad (23)$$

Частный случай:

$$\lambda = 0, \beta = 1 \Rightarrow C_w(n) = C(n) + \alpha(-1)^b \pi(n) \text{ (обычно ШПС)}$$

Атака аддитивным шумом:

$$C'_w(n) = C_w(n) + \varepsilon(n),$$

$$\text{где } E\{\varepsilon(n)\} = 0, \text{Var}\{\varepsilon(n)\} = \sigma_\varepsilon^2 \quad (24)$$

Правило слепого декодирования:

$$A = \frac{1}{N\alpha^2} \sum_{n=1}^N C'_w \pi'(n) \Rightarrow \begin{cases} b = 0, \text{ если } A \geq 0 \\ b = 1, \text{ если } A < 0 \end{cases} \quad (25)$$

Подставляя (22) и (24) в (25) получим:

$$A = x + \beta(-1)^b - \lambda x + y = \beta(-1)^b + (1 - \lambda)x + y, \quad (26)$$

$$\text{где } y = \frac{1}{N\alpha^2} \sum_{n=1}^N \varepsilon(n) \pi'(n)$$

Если $\lambda=1$, то помеха от $C(n)$ будет отсутствовать, но это не означает, что $\lambda=1$ является оптимальной величиной, если принять во внимание искажения ПС после погружения ЦВЗ.

Искажения при погружении ЦВЗ

$$\begin{aligned}\Delta &= E\{ (C_w(n) - C(n))^2 \} = E\left\{ \left(\beta(-1)^b - \lambda \frac{\tilde{x}}{\alpha^2} \right) \pi'(n) \right\}^2 \} = \alpha^2 E\left\{ \left(\beta(-1)^b - \frac{\lambda}{\alpha^2} \right) \right\}^2 \} = \\ &= \alpha^2 E\left\{ \beta^2 - \frac{2\beta\lambda\tilde{x}(-1)^b}{\alpha^2} + \frac{\lambda^2}{\alpha^4} x^2 \right\} = \alpha^2 \left(\beta^2 + \frac{\lambda^2}{\alpha^4} E\{\tilde{x}^2\} \right),\end{aligned}\quad (27)$$

$$\text{где } \tilde{x} = \frac{1}{x} \sum_{n=1}^N C(N) \pi'(n)$$

Преобразуем последний член в (27):

$$\begin{aligned}E\{\tilde{x}^2\} &= E\left\{ \frac{1}{N} \sum_{n=1}^N C(n) \pi'(n) \right\}^2 \} = \frac{1}{N^2} \sum_{n=1}^N \sum_{n'=1}^N E\{ C(n) C(n') \pi'(n) \pi'(n') \} = \\ &= \frac{1}{N^2} \sum_{n=1}^N \sum_{n'=1}^N E\{ C(n) C(n') \} E\{ \pi(n) \pi'(n') \} = \frac{N}{N^2} \alpha^2 \sigma_c^2 = \frac{\alpha^2 \sigma_c^2}{N}\end{aligned}\quad (28)$$

Подставляя (28) в (27) получим:

$$\Delta = \alpha^2 \left(\beta^2 + \frac{\lambda^2 \sigma_c^2}{N \alpha^2} \right) = \alpha^2 \beta^2 + \frac{\lambda^2 \sigma_c^2}{N} \quad (29)$$

Найдем параметр УШПС β , при котором искажения ПС при погружении Δ равны искажениям при погружении обычным ШПС $\Delta=\alpha^2$:

$$\alpha^2 = \alpha^2 \beta^2 + \frac{\lambda^2 \sigma_c^2}{N} \Rightarrow \beta = \sqrt{\frac{N\alpha^2 - \lambda\sigma_c^2}{N\alpha^2}} \quad (30)$$

Рассчитаем вероятность ошибки в ЦВЗ-УШПС:

$$p = Q\left(\frac{|E\{\Lambda\}|}{\sqrt{Var\{\Lambda a}\}}\right) \quad (31)$$

$$E\{\Lambda\} = E\{\beta(-1)^b + (1-\lambda)x + y\} = \beta(-1)^b \quad (32)$$

$$Var\{\Lambda\} = E\{((1-\lambda)x + y)^2\} = E\{(1-\lambda)^2 x^2 + 2(1-\lambda)xy + y^2\} = (1-\lambda)^2 E\{x^2\} + E\{y^2\} \quad (33)$$

$$E\{x^2\} = \frac{\sigma_c^2}{\alpha^2 N} \quad (34)$$

$$E\{y^2\} = \frac{\sigma_\varepsilon^2}{\alpha^2 N} \quad (35)$$

Подставляя (34),(35) в (33), получим:

$$Var\Lambda = \frac{(1-\lambda)^2 \sigma_c^2 + \sigma_\varepsilon^2}{\alpha^2 N} \quad (36)$$

Подставляя (30) в (32), (32), (36) в (31) получим:

$$P = Q \left(\sqrt{\frac{N\alpha^2 - \lambda\sigma_c^2}{(1-\lambda^2)\sigma_c^2 + \sigma_\varepsilon^2}} \right) \quad (37)$$

Частный случай $\lambda=0$ (обычная ЦВЗ-ШПС)

$$\tilde{P} = Q \left(\sqrt{\frac{N\alpha^2}{\sigma_c^2 + \sigma_\varepsilon^2}} \right) = Q \left(\sqrt{\frac{N\eta_a}{\eta_a\eta_\omega + \eta_\omega - \eta_a}} \right) \approx Q \left(\sqrt{\frac{N}{\eta_\omega}} \right) \quad (38)$$

Что совпадает с (9) (см лекцию 9)

Для получения минимума P в (37) параметр λ должен быть оптимизирован.

Легко проверить, что когда $\sigma_c^2 / \sigma_\varepsilon^2$ и N велико, то $\lambda_{opt} \approx 1$

Тогда получаем из (37)

$$P = Q \left(\sqrt{\frac{N\alpha^2 - \sigma_c^2}{\sigma_\varepsilon^2}} \right) = Q \left(\alpha \sqrt{\frac{N - \eta_\omega}{\sigma_\varepsilon^2}} \right) = Q \left(\sqrt{\frac{\eta_a(N - \eta_\omega)}{\eta_\omega - \eta_a}} \right) \quad (39)$$

Сравнение ЦВЗ-ШПС и ЦВЗ-УШПС

Преобразуем (39)

$$P = Q\left(\sqrt{\frac{N - \eta_{\omega}}{\eta - 1}}\right) \quad (40)$$

$$\text{где } \eta = \frac{\eta_{\omega}}{\eta_a}$$

Сравним (40) с вероятностью ошибки для информированного декодера (см. 11 в лекции):

$$P = Q\left(\sqrt{\frac{N}{\eta - 1}}\right) \quad (41)$$

Видно, что при $N \gg \eta_{\omega}$ получаем (приближенное равенство) P для ШПС с информированным декодером и УШПС со «слепым» декодером

Пример:

$$\sigma_c = 50, \alpha = 5, \sigma_{\varepsilon} = 5, N = 1000$$

$$\text{тогда: } \eta_{\omega} = \frac{\sigma_c^2}{\alpha^2} = 100, \quad \eta_a = \frac{\sigma_c^2}{\alpha^2 + \sigma_{\varepsilon}^2} = 50 \quad P = Q\left(\sqrt{\frac{N}{\eta_{\omega}}}\right) = Q\sqrt{10} \approx 3 \cdot 10^{-3}$$

Для УШПС можно получить ту же вероятность ошибки, но при уменьшении N до 110, что эквивалентно увеличению скорости вложения в 9 раз.

6. Построение системы ЦВЗ на принципах, отличных от тех, которые используются в телекоммуникационных системах. (Квантованная проективная модуляция - КПМ)

Обычная (квантованная индексная модуляция - КИМ)

Погружение:

$$C_w(n) = \begin{cases} Q_0(C(n)), & \text{если } b = 0 \\ Q_1(C(n)), & \text{если } b = 1 \end{cases} \quad (42)$$

где $Q_i(\dots)$ – квантователь i^{zo} типа

Декодер:

$$\tilde{b} = \operatorname{argmin}_b \|C'_w(n) - Q_b(C'(n))\| \quad (43)$$

где $\| \dots \|$ - норма в евклидовом пространстве

Пример (скалярный квантователь):

(вставить рис)

Если $C'_w(n) = C_w(n)$ нет искажений ЦВЗ), то информация извлекается без ошибок.

Если помехой является $\varepsilon(n) \in N(0, \sigma^2)$, то:

$$P = \sum_{n=-\infty}^{+\infty} \left(Q\left(\frac{\Delta(4n+1)}{\alpha\sqrt{\sigma_\varepsilon^2}}\right) - Q\left(\frac{\Delta(4n+3)}{\alpha\sqrt{\sigma_\varepsilon^2}}\right) \right), Q(x) = \frac{1}{\sqrt{2\pi}} \int_x^\infty e^{-\frac{t^2}{2}} dt \quad (44)$$

Атака переквантованием:

$$C'_w(n) = \begin{cases} C_w(n), & \text{с вероятностью } 0,5 \\ C_w(n) \pm \Delta, & \text{с вероятностью } 0,5 \end{cases} \quad p=0,5 \text{ (ЦВЗ удалено полностью)} \quad (45)$$

Диттер КИМ (ДМ)

$$\text{Погружение: } C_w(n) = Q(C(n) + d(bn)) - d(b_n, n) \quad (46)$$

$Q(\dots)$ -квантователь с шагом « Δ »

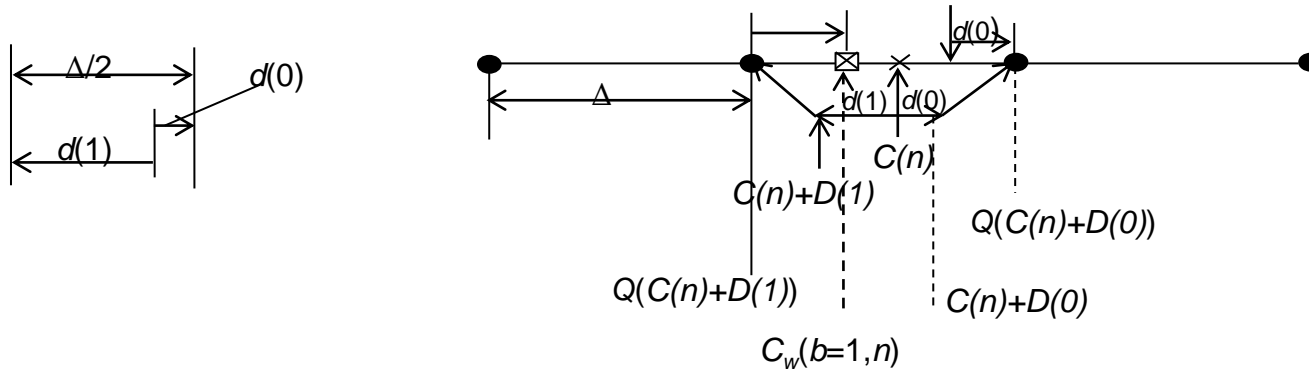
где $d(0, n) - i.i.d.$, равномерно распределено на интервале $[-\Delta/2, +\Delta/2]$

$$d(1, n) = \begin{cases} d(0, n) + \frac{\Delta}{2}, & \text{если } d(0, n) < 0 \\ d(0, n) - \frac{\Delta}{2}, & \text{если } d(0, n) \geq 0 \end{cases} \quad (47)$$

Декодер:

$$\tilde{b} = \operatorname{argmin}_b \|C'_w(n) - Q(C'_w(n) + d(b, n)) + d(b, n)\| \quad (48)$$

Графическая иллюстрация для равномерного скалярного квантователя:



Основные свойства DM

1. если $C'_w(n) = C_w(n)$, то $p = 0$
2. если $C'_w(n) = C_w(n) + \varepsilon(n)$, то $p = \text{см. (44)}$
3. если $C'_w(n) = C_w(n) + \tilde{\varepsilon}(n)$, где $|\tilde{\varepsilon}(n)| < \frac{\Delta}{4}$ то $p = 0$
4. Ошибки квантования не зависят от $C(n)$,
что улучшает субъективное качество восприятия

Векторная КИМ.

Видно, что скалярная КИМ фактически совпадает с системой НЗБ и имеет все его недостатки.

При векторной КИМ предварительно выбирается кодовая книга (из двух «томов» для вложения одного бита):

$$C_{io}(n), n=1,2...N, C_{il}(n), n=1,2...N, i=1,2,...L$$

Погружение:

$$C_w(n) = \begin{cases} C_{\tilde{i}_o}(n), & \text{если } b = 0 \\ C_{\tilde{i}_b}(n), & \text{если } b = 1 \end{cases} \quad (49)$$

$$\text{где } C_{\tilde{i}_b}(n) = \operatorname{argmin}_i \|C_w(n) - C_{ib}(n)\|$$

Декодер:

$$\tilde{b} = \operatorname{argmin}_b \min_i \|C'_w(n) - C_{ib}(n)\| \quad (59)$$

Замечание 1.

Для обеспечения малых искажений ПС кодовые книги должны выбираться так, чтобы для любого $C(n)$, $\|C_w(n) - C(n)\|$, были бы малы по сравнению с $\|C(n)\|$

Замечание 2.

Такая система может использоваться в СГС причем она будет устойчива к преднамеренному удалению, если выбор кодовых книг производится секретным образом (по стегоключу)

Замечание 3.

Данный метод построения ЦВЗ и СГС хорошо согласуется с *векторным кодированием* речевых сигналов, используемых в вакодерах.

Квантованная проекционная модуляция (QPD)

Цель использования QPD:

Обеспечить защиту от преднамеренного удаления ЦВЗ методом рандомизированного квантования.

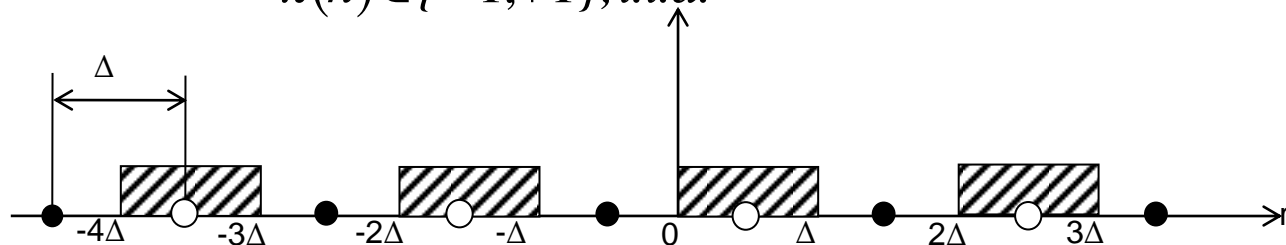
Погружение:

$$C_w(n) = C(n) + \frac{Q_b(r) - r}{N} \pi(n), n = 1, 2, \dots, N \quad (51)$$

$$\text{где } r = \sum_{n=1}^N C(n) \pi(n)$$

$Q_b(\dots)$ – равномерный квантователь с шагом Δ , когда при $b=0$ и $b=1$ берутся чередующиеся точки (см. Рис. ниже)

$$\pi(n) \in \{-1, +1\}, i.i.d.$$



● $\rightarrow b=1$, ○ $\rightarrow b=0$, заштрихованные области $\rightarrow 0$, незаштрихованные $\rightarrow 1$

Рис... Равномерный квантователь с шагом Δ

Атака аддитивным шумом:

$$C'_w(n) = C(n) + \varepsilon(n), \text{ где } E\{\varepsilon(n)\} = 0, \quad (52)$$

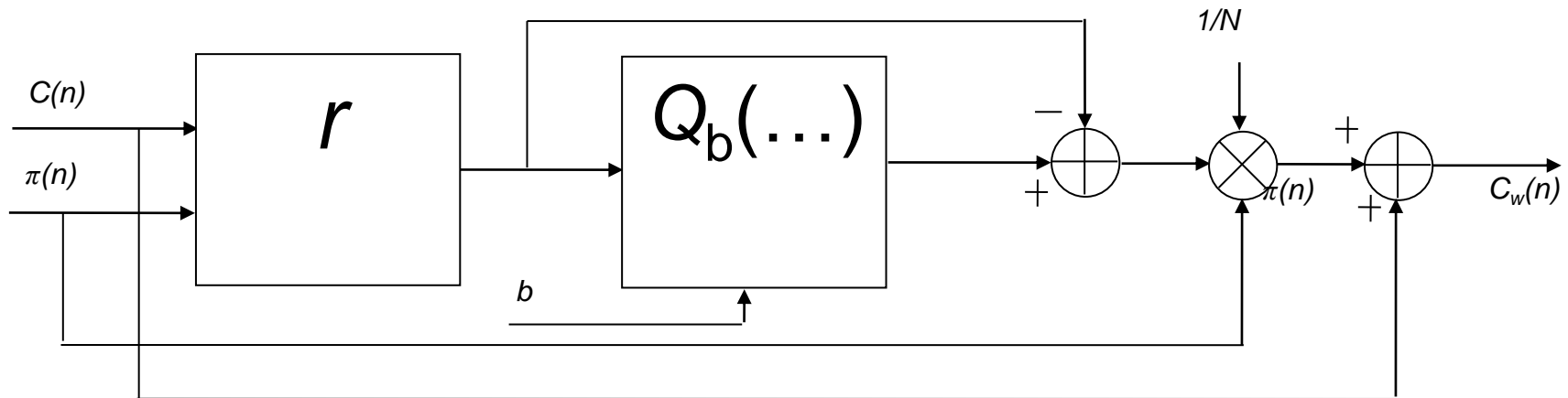
$$\text{Var}\{\varepsilon(n)\} = \sigma_\varepsilon^2$$

$$\text{Декод } \tilde{b} = \text{argmin}_b \|r' - Q_b(r)\|^2, b \in \{0,1\} \quad (53)$$

где:

$$r' = \sum_{n=1}^N C'_w(n) \pi(n)$$

Рис 2. Схема погружения ЦВЗ:



Восстановление «b» при отсутствии атаки:

Пусть $b=0$, тогда из (52) получим:

$$\begin{aligned}
 r' &= \sum_{n=1}^N C'_w(n) \pi(n) = \sum_{n=1}^N \left(C(n) + \frac{\rho_0}{N} \pi(n) \right) \pi(n) = \sum_{n=1}^N \left(C(n) \pi(n) + \frac{\rho_0}{N} \right) = \\
 &\sum_{n=1}^N C(n) \pi(n) + \sum_{n=1}^N \frac{Q_0 \sum_{n=1}^N C(n) \pi(n) - \sum_{n=1}^N C(n) \pi(n)}{N} = \\
 &\sum_{n=1}^N C(n) \pi(n) + Q_0 \left(\sum_{n=1}^N C(n) \pi(n) \right) - \sum_{n=1}^N C(n) \pi(n) = Q_0 \left(\sum_{n=1}^N C(n) \pi(n) \right)
 \end{aligned} \tag{54}$$

$$\begin{aligned}
 Q_0(r) - r_0 &= Q_0 \left(Q_0 \left(\sum_{n=1}^N C(n) \pi(n) \right) \right) - Q_0 \left(\sum_{n=1}^N C(n) \pi(n) \right) = 0 \\
 Q_1(r) - r_0 &= Q_1 \left(Q_0 \left(\sum_{n=1}^N C(n) \pi(n) \right) \right) - Q_0 \left(\sum_{n=1}^N C(n) \pi(n) \right) = \Delta
 \end{aligned} \tag{55}$$

При $b=1$, получаем аналогичным образом, что $Q_0(r) - r = \Delta, Q_1(r) - r = 0$

Вывод:

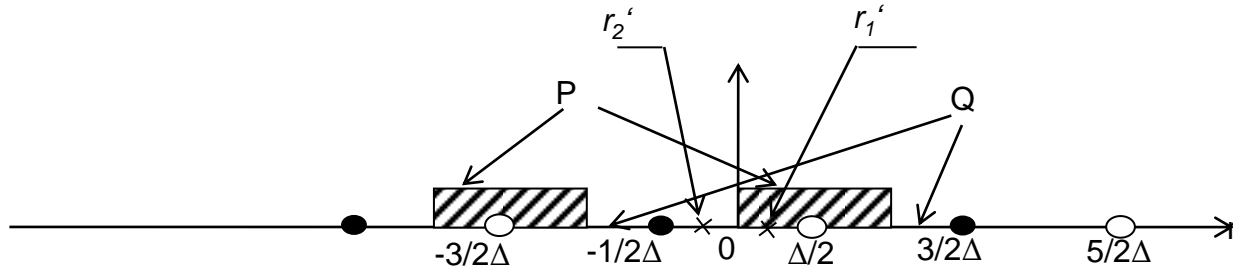
При отсутствии всякой атаки декодер дает нулевую ошибку

Расчет вероятности ошибки при декодировании бита b при атаке аддитивным шумом.

Пусть $b=0$. Тогда из (51), (52) получим:

$$\begin{aligned}
 r' &= \sum_{n=1}^N C'_w(n) \pi(n) = \sum_{n=1}^N \left(C(n) + \frac{\rho_0}{N} \pi(n) + \varepsilon(n) \right) \pi(n) = \sum_{n=1}^N \left(C(n) \pi(n) + \varepsilon(n) \pi(n) + \frac{\rho_0}{N} \right) = \\
 &\quad \sum_{n=1}^N C(n) \pi(n) + \sum_{n=1}^N \varepsilon(n) \pi(n) + \sum_{n=1}^N \left(\frac{Q_0 \left(\sum_{n=1}^N C(n) \pi(n) \right) - \sum_{n=1}^N C(n) \pi(n)}{N} \right) = \\
 &\quad \sum_{n=1}^N C(n) \pi(n) + \sum_{n=1}^N \varepsilon(n) \pi(n) + Q_0 \left(\sum_{n=1}^N C(n) \pi(n) \right) - \sum_{n=1}^N C(n) \pi(n) = Q_0 \left(\sum_{n=1}^N C(n) \pi(n) \right) + \sum_{n=1}^N \varepsilon(n) \pi(n) \quad (56)
 \end{aligned}$$

Рассмотрим область принятия решений о символе b :



Алгоритм декодирования на примере заданных величин r'_1, r'_2

$$|Q_0(r') - r'| < |Q_1(r') - r'| \Rightarrow b = 0$$

$$|Q_0(r') - r'| \geq |Q_1(r') - r'| \Rightarrow b = 1$$

$$r'_1: Q_0(r'_1) = \Delta/2, Q_1(r'_1) = -\Delta/2, |\Delta/2 - r'_1| < |-\Delta/2 - r'_1| \Rightarrow b = 0$$

$$r'_2: Q_0(r'_2) = \Delta/2, Q_1(r'_2) = -\Delta/2, |\Delta/2 - r'_2| > |-\Delta/2 - r'_2| \Rightarrow b = 1$$

Вывод:

Заштрихованные области (P) соответствуют решению $b=0$,

а не заштрихованные $b=1$

Потому при вложении символа $b=0$,

$$P = \Pr\{r' \notin P\} = \Pr\left\{r' \notin \bigcup_{i=-\infty}^{\infty} (2\Delta i, \Delta(2i+1))\right\} \quad (57)$$

$$\begin{aligned}
r' &= Q_0 \left(\sum_{n=1}^N C(n) \pi(n) \right) + \sum_{n=1}^N \varepsilon(n) \pi(n) \\
\left. Q_0 \left(\sum_{n=1}^N C(n) \pi(n) \right) \in \bigcup_{i=-\infty}^{\infty} \Delta(2i+1/2) \right\} &\Rightarrow \Lambda = \sum_{n=1}^N \varepsilon(n) \pi(n) \in \bigcup_{i=-\infty}^{\infty} (2\Delta i + \Delta/2, 2\Delta i + 3\Delta/2) \Rightarrow \\
r' \notin P & \\
\Lambda \in \bigcup_{i=-\infty}^{\infty} (2\Delta i + \Delta/2, 2\Delta i + 3\Delta/2) & \quad (58)
\end{aligned}$$

$$\Lambda \in N(0, N\sigma_{\varepsilon}^2) \quad (59)$$

$$\begin{aligned}
(58), (59) \Rightarrow P &= \sum_{i=-\infty}^{\infty} \left(Q \left(\Delta \frac{(2i+1/2)}{\sqrt{N\sigma_{\varepsilon}^2}} \right) - Q \left(\Delta \frac{(2i+3/2)}{\sqrt{N\sigma_{\varepsilon}^2}} \right) \right) = \\
\sum_{i=-\infty}^{\infty} & Q \left(\Delta \frac{(4i+1)}{2\sqrt{N\sigma_{\varepsilon}^2}} \right) - Q \left(\Delta \frac{(4i+3)}{2\sqrt{N\sigma_{\varepsilon}^2}} \right) \quad (60)
\end{aligned}$$

Принебрегая «боковыми лепестками» в (60), получим:

$$p \approx 2Q \left(\frac{\Delta}{2\sqrt{N\sigma_{\varepsilon}^2}} \right) \quad (61)$$

Оценка искажений ПС при вложении ЦВЗ и атаке аддитивным шумом:

$$\eta_{\omega} = \frac{\sigma_c^2}{E\{(C_w(n) - C(n))^2\}} = \frac{\sigma_c^2 N^2}{E\{(Q_d(r) - r)^2\}} \quad (62)$$

$$\varepsilon \text{ где: } r = \sum_{n=1}^N C(n) \pi(n)$$

Из(62) видно, что η_{ω} зависит не только от значения $C(n)$, но от соседних значений $C(n)$, $n=1,2,\dots,N$, причем нелинейным образом.

Однако, справедлива оценка $|Q_b(r) - r| \leq \Delta$ и поэтому получим:

$$\eta_{\omega} \geq \frac{\sigma_c^2 N^2}{\Delta^2} \quad (63)$$

$$C'_w(n) = C_w(n) + \varepsilon(n), \text{Var}\{\varepsilon(n)\} = \sigma_{\varepsilon}^2 \Rightarrow$$

$$\eta_a = \frac{\sigma_c^2}{E\{(C_w(n) - C(n))^2\} + \sigma_{\varepsilon}^2} = \frac{\sigma_c^2}{\Delta^2 / N^2 + \sigma_{\varepsilon}^2} \quad (64)$$

Полагая равенства в (63), (64), получаем из них

$$\frac{\sigma_{\varepsilon}^2 N}{\Delta^2} = \frac{\eta_{\omega}}{N\eta_a} - 1 / N = 1 / N \left(\frac{\eta_{\omega}}{N\eta_a} - 1 \right) \quad (65)$$

Подставляя (62) в (61), находим

$$P \leq 2Q \left(\frac{1}{2} \sqrt{\frac{N\eta_a}{\eta_{\omega} - \eta_a}} \right) = 2Q \left(\frac{1}{2} \sqrt{\frac{N}{\eta - 1}} \right) = 2Q \left(\sqrt{\frac{N}{4(\eta - 1)}} \right) \quad (66)$$

где $\eta = \frac{\eta_{\omega}}{\eta_a}$

При более точном расчете искажений для QPD, получаем границу $P \leq 2Q \left(\sqrt{\frac{0,75N}{(\eta - 1)}} \right)$

Вывод:

Сравнивая (63) с выражением (11) для вероятности ошибки при информированном декодере и погружением по методу ШПС получаем, что для получения одинаковой достоверности, длина ШПС N должна быть для QPD увеличена примерно в 1,3 раза.

Оптимизация параметров QPD-СГС

Заданы:

P, σ_c^2, η_a Необходимо выбрать такие параметры Δ и N , которые максимизируют η_ω .

Замечание 1.

Формулы (63), (64), (66), являются приближенными и потому их нужно уточнять моделированием.

Замечание 2.

QPD-СГС, (также как и УШПС) и отличие от ШПС-СГС дает коррелированные искажения ПС на интервале длиной N выборок (пикселей).

Замечание 3.

Сравнивая QPD с УШПС, для которой (см. начало лекции)

$$P = Q\left(\sqrt{\frac{\eta_a(N - \eta_\omega)}{\eta_\omega - \eta_a}}\right) = Q\left(\sqrt{\frac{N - \eta_\omega}{\eta - 1}}\right)$$

видим, что при слишком больших N , УШПС оказывается лучше чем QPD.